

УДК 519.6

І.О. Астіоненко, Н.О. Козуб, О.І. Литвиненко, А.Н. Хомченко

ПОБУДОВА ПОЛІНОМІАЛЬНОГО БАЗИСУ ДИСКРЕТНОГО ЕЛЕМЕНТА PR-21

В роботі сконструйовано поліноміальний базис просторового елемента PR-21. Модель має розподіл рівномірної масової сили наближений до розподілу, що отриманий на основі розрахунку кінетичної енергії обертання твердого тіла.

Ключові слова: скінчений елемент, інтерполяція, модифікований базис.

Постановка проблеми. Побудова оптимальних схем повузлової дискретизації є складною проблемою. Успіх дискретного моделювання залежить від конфігурації шаблону, числа вузлів дискретизації та їх розташування. Цими питаннями переймаються фахівці з методу скінчених різниць (МСР), методу скінчених елементів (МСЕ). Наприклад, в МСЕ використовують повузловий розподіл рівномірної масової сили, який обчислюють за допомогою інтеграла по області скінченноного елемента [1]. Повузловий розподіл можна отримати, наприклад, за допомогою монте-карловських експериментів. Відомо, що вузлові навантаження можна використовувати у чисельному інтегруванні в якості вагових коефіцієнтів (наприклад, квадратура Гаусса-Лобатто) [2].

Аналіз останніх досліджень. У статті [2] розглядається куб ($2 \times 2 \times 2$) з 21 вузлом інтерполяції (8 вузлів у вершинах, 12 на ребрах і 1 вузол у центрі куба). В англомовній літературі цей елемент позначають PR-21 (рис. 1). У [2] показано, як на основі розрахунку кінетичної енергії обертання мас можна знайти спектральний розподіл рівномірної масової сили для PR-21. Цьому розподілу притаманна наступна властивість: відношення спектральних характеристик центрального і кутового вузлів дорівнює квадрату числа вершин елемента. Доведено, що кращі схеми дискретизації задовільняють цій умові. В [3] показано, як цей розподіл отримати за допомогою “інтуїтивного” конструювання, використовуючи стрижневу аналогію. Треба зауважити, що в жодній з попередніх публікацій не наведено інтерполяційного базису PR-21.

Мета статті - сконструювати базисні функції поліноміальної інтерполяції на дискретному елементі PR-21. Побудувати модель PR-21 з розподілом рівномірної масової сили, що суттєво не відрізняється від розподілу [2,3], що отриманий при використанні кінетичної енергії обертання твердого тіла.

Основна частина. Для побудови базису PR-21 використаємо геометричне моделювання, матричний метод і метод оптимізації інтерполяційних якостей і обчислювальних властивостей базисів дискретних елементів.

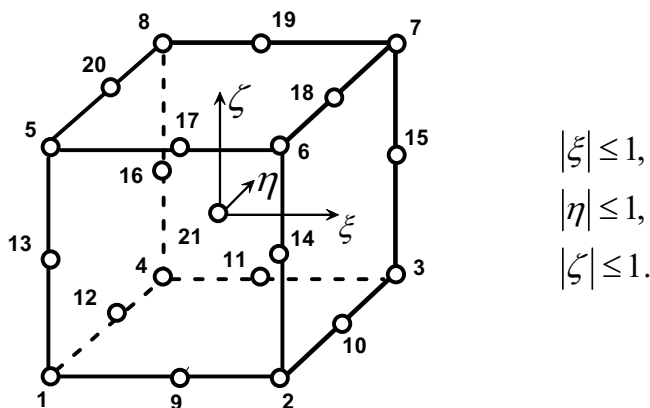


Рис. 1. PR-21

Геометричний метод. Модель 1. Базисна функція для вузла 1 задається як суперпозиція площин (рис. 2а): 2-3-7-6; 3-4-8-7; 5-6-7-8; 9-11-19-17; 12-10-18-20; 13-14-15-16.

Отримуємо базисну функцію для вузла 1, як добуток площин:

$$N_1 = -\frac{1}{8}(1-\xi)(1-\eta)(1-\zeta)\xi\eta\zeta. \quad (1)$$

Базисна функція для вузла 9 задається як суперпозиція площин (рис. 2б): 2-3-7-6; 3-4-8-7; 5-6-7-8; 1-4-8-5; 13-14-15-16.

Для вузла 9 отримаємо:

$$N_9 = -\frac{1}{4}(1-\xi^2)(1-\eta)(1-\zeta)\zeta. \quad (2)$$

Базисна функція N_{21} задається як суперпозиція площин (рис. 2в): 2-3-7-6; 1-4-8-5; 4-3-7-8; 1-2-6-5; 5-6-7-8; 1-2-3-4.

Для вузла 21 отримаємо:

$$N_{21} = (1-\xi^2)(1-\eta^2)(1-\zeta^2). \quad (3)$$

Модель має 27 параметрів у інтерполяційному поліномі (як і у елемента лагранжевої сім'ї з 27 вузлами).

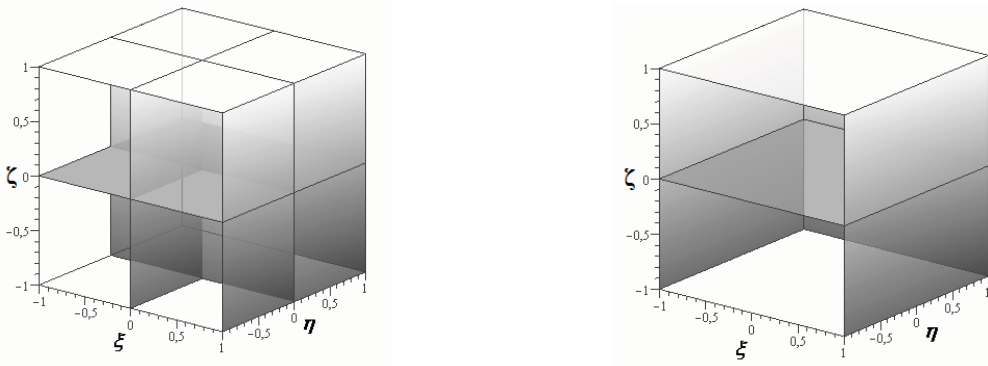
а) до побудови функції N_1 б) до побудови функції N_9

Рис. 2.

Алгебраїчний метод. Модель 2. Матричний підхід до побудови базису для PR-21 починається з вибору 21-параметричного полінома з трьома аргументами:

$$\begin{aligned} \phi = & \alpha_1 + \alpha_2\xi + \alpha_3\eta + \alpha_4\zeta + \alpha_5\xi\eta + \alpha_6\xi\zeta + \alpha_7\eta\zeta + \alpha_8\xi^2 + \alpha_9\eta^2 + \alpha_{10}\zeta^2 + \\ & + \alpha_{11}\xi^2\eta + \alpha_{12}\xi\eta^2 + \alpha_{13}\eta^2\zeta + \alpha_{14}\eta\zeta^2 + \alpha_{15}\xi^2\zeta + \alpha_{16}\xi\zeta^2 + \alpha_{17}\xi\eta\zeta + \\ & + \alpha_{18}\xi^2\eta\zeta + \alpha_{19}\xi\eta^2\zeta + \alpha_{20}\xi\eta\zeta^2 + \alpha_{21}\xi^2\eta^2\zeta^2. \end{aligned} \quad (4)$$

Базис елемента складається із 21 полінома, які підпорядковані інтерполяційній гіпотезі:

$$N_i(\xi_k, \eta_k, \zeta_k) = \delta_{ik}, \quad (5)$$

де i – номер полінома; k – номер вузла; δ_{ik} – символ Кронекера; $i, k = \overline{1, 21}$.

Розв'язавши СЛАР (21×21) , знайдемо невідомі параметри α_i і запишемо інтерполяційний поліном (4) у вигляді:

$$\phi = [N_i] \{\Phi_i\}, \quad (6)$$

де $[N_i]$ - матриця-рядок базисних функцій СЕ ($i = \overline{1, 21}$);

$\{\Phi_i\}$ - вектор значень функції, що інтерполюється.

Отримуємо базисні функції для PR-21:

$$\begin{aligned} N_1 = & \frac{1}{8}(\xi + \eta + \zeta - \xi^2\eta - \xi\eta^2 - \eta^2\zeta - \eta\zeta^2 - \xi^2\xi - \xi\zeta^2 - \xi\eta\zeta + \\ & + \xi^2\eta\zeta + \xi\eta^2\zeta + \xi\eta\zeta^2 + \xi^2\eta^2\zeta^2); \end{aligned} \quad (7)$$

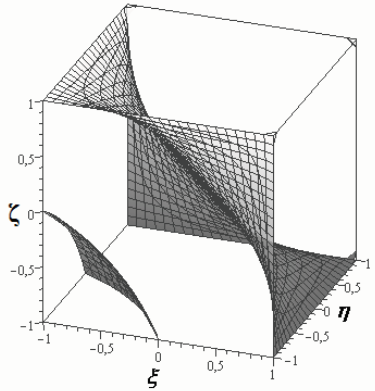
$$N_9 = \frac{1}{4}(-\eta - \zeta + \eta\zeta - \frac{1}{2}\xi^2 + \frac{1}{2}\eta^2 + \frac{1}{2}\zeta^2 + \xi^2\eta + \xi^2\zeta - \xi^2\eta\zeta - \frac{1}{2}\xi^2\eta^2\zeta^2); \quad (8)$$

$$N_{21} = 1 - \frac{1}{2}\xi^2 - \frac{1}{2}\eta^2 - \frac{1}{2}\zeta^2 + \frac{1}{2}\xi^2\eta^2\zeta^2. \quad (9)$$

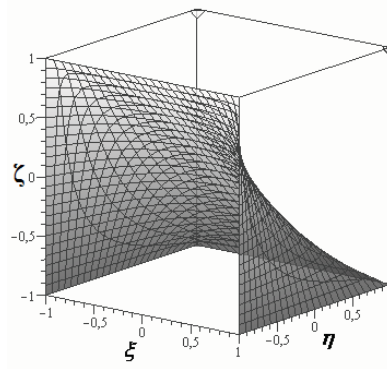
При цьому має зберігатися ваговий баланс:

$$\sum_{i=1}^{21} N_i(\xi, \eta, \zeta) = 1. \quad (10)$$

Поверхні нульового рівня цих функцій показано на рис. 3.



а) до побудови функції N_1



б) до побудови функції N_9

Рис. 3.

Розглянемо питання про розподіл рівномірної масової сили на просторових скінчених елементах. Для ССЕ *вузлова доля рівномірної масової сили* визначається потрійним інтегралом по об'єму Ω скінченного елемента від відповідної базисної функції, зваженої з об'ємною щільністю γ :

$$p_i = \iiint_{\Omega} \gamma N_i(\xi, \eta, \zeta) d\xi d\eta d\zeta, \quad \gamma = \frac{1}{8}. \quad (11)$$

В статті [3] показано, як за допомогою використання кінетичної енергії обертання мас можна знайти спектральний розподіл рівномірної масової сили, який будемо називати фізичним (табл. 1).

Таблиця 1.

Розподіл рівномірної масової сили на дискретному елементі

| Фізичний розподіл M_i | Модель 1 | Модель 2 |
|------------------------------------|-------------------------------------|--------------------------------------|
| $M_1 = \frac{1}{120} = 0,008(3)$ | $p_1 = \frac{1}{216} = 0,004(629)$ | $p_1 = \frac{1}{216} = 0,004(629)$ |
| $M_9 = \frac{4}{120} = 0,0(3)$ | $p_9 = \frac{12}{216} = 0,0(5)$ | $p_9 = \frac{8}{216} = 0,(037)$ |
| $M_{21} = \frac{64}{120} = 0.5(3)$ | $p_{21} = \frac{64}{216} = 0,(296)$ | $p_{21} = \frac{112}{216} = 0,(518)$ |

Аналіз результатів (табл.1) свідчить про деякі відхилення отриманих значень від фізичного спектру.

Метод оптимізації інтерполяційних якостей і обчислювальних властивостей базисів дискретних елементів.

Модель 3. Побудуємо третю модель, у якої розподіл рівномірної масової сили буде максимально наближений до теоретичного розподілу. Для цього сформулюємо і розв'яжемо для PR-21 *обернену задачу*: побудувати базисні функції за заздалегідь визначенім спектром [4].

У формулу зваженого усереднення

$$N_i^{(3)} = (1 - \alpha) N_i^{(1)} + \alpha N_i^{(2)}, \quad (12)$$

підставляємо значення коефіцієнта $\alpha = \frac{16}{15}$, яке знаходимо з рівняння:

$$M_i = \alpha p_i^{(1)} + (1 - \alpha) p_i^{(2)}, \quad (13)$$

де $p_i^{(1)}$, $p_i^{(2)}$ – значення спектру навантажень, яке обчислюється за формулою (11) для моделей 1 і 2 (табл. 1);

M_i – значення фізичного спектру навантажень (табл. 1).

Отримаємо наступні базисні функції моделі 3 за формулою (12):

$$\begin{aligned} N_1 &= \frac{1}{120}(16(\xi + \eta + \zeta) - 16(\xi^2\eta + \xi\eta^2 + \eta^2\zeta + \eta\zeta^2 + \xi^2\zeta + \xi\zeta^2) - 15\xi\eta\zeta + \\ &\quad + 15(\xi^2\eta\zeta + \xi\eta^2\zeta + \xi\eta\zeta^2) + \xi^2\eta^2\zeta + \xi\eta^2\zeta^2 + \xi^2\eta\zeta^2 + 15\xi^2\eta^2\zeta^2); \end{aligned} \quad (14)$$

$$\begin{aligned} N_9 &= \frac{1}{60}(-16\eta - 15\zeta + 15\eta\zeta - 8\xi^2 + 8\eta^2 + 7\zeta^2 + 16\xi^2\eta + \eta\zeta^2 + \\ &\quad + 15\xi^2\zeta - 15\xi^2\eta\zeta + \xi^2\zeta^2 - \xi^2\eta\zeta^2 - 8\xi^2\eta^2\zeta^2); \end{aligned} \quad (15)$$

$$N_{21} = \frac{1}{15}(15 - 7\xi^2 - 7\eta^2 - 7\zeta^2 - \xi^2\eta^2 - \xi^2\zeta^2 - \eta^2\zeta^2 + 9\xi^2\eta^2\zeta^2). \quad (16)$$

Розподіл рівномірної масової сили для моделі 3 наступний:

$$p_1 = \frac{15}{3240} = 0,004(629); \quad p_9 = \frac{116}{3240} \approx 0,0358; \quad p_{21} = \frac{1728}{3240} \approx 0,5302.$$

Цікаво, що базисні функції всіх трьох моделей на границі ведуть себе однаково. Наприклад, на ребрі 1-2:

$$N_1(\xi, -1, -1) = \frac{1}{2}\xi(\xi - 1), \quad N_9(\xi, -1, -1) = 1 - \xi^2, \quad N_{21}(\xi, -1, -1) = 0.$$

Висновки. В роботі вперше побудовано поліноміальний базис на елементі PR-21. Тестування базису виконано на прикладі задачі про розподіл навантаження від одиничної маси по вузлах.

ЛІТЕРАТУРА

1. Зенкевич О. Метод конечных элементов в технике / О. Зенкевич. — М.: Мир, 1975. — 541 с.

2. Overmeire M.V. A Diagonal Mass Matrix with Full Convergence Rate for Finite Element Dynamical Problems / M.V. Overmeire //Trans. Can. Soc. Mech. Eng. — V.7, № 2. —1983. — С. 100-102.
3. Крючковский В.В. Приемы оптимизации вычислительных свойств дискретных моделей /В.В. Крючковский, А.Н. Хомченко // Вестник Херсонского гос. техн. университета. — Спец. выпуск. — Херсон: ХГТУ, 1999. — С. 92-93.
4. Астионенко И.А. Обратные задачи серендиповых аппроксимаций /И.А.Астионенко, Е.И Литвиненко, А.Н. Хомченко // Вестник Херсонского нац. техн. университета. — Вып. 2(35). — Херсон: ХНТУ, 2009. — С. 36-42.